

Agujeros de gusano con dos fluidos y singularidad tipo Big Rip.

Paola A. Meza Bordones.

Encuentro Cosmoconce.

Marzo 2013.

Indice I

- 1 Motivación
- 2 Métrica y ecuaciones de campo
- 3 Solución general
- 4 Universos tipo wormhole en expansión con fluido fantasma barotrópico
 - Evolución de las densidades cuando $\omega_r < -1$
 - Evolución de las densidades cuando $\omega_r > 0$
- 5 Universos tipo wormhole con viscosidad
 - Coeficiente de viscosidad constante
 - Coeficiente de viscosidad $\xi \sim \rho^{1/2}$

Motivación I

Expansión acelerada del universo \Rightarrow Modelos cosmológicos con energía oscura

Singularidades futuras \Rightarrow Big Rip

Modelos cosmológicos en presencia de dos o más fluidos, con una componente fantasma

Métrica

$$ds^2 = -dt^2 + a(t)^2 \left(\frac{dr^2}{1 - kr^2 - \frac{b(r)}{r}} + r^2 d\Omega^2 \right) \quad (1)$$

Ecuaciones de campo

$$3H^2 + \frac{3k}{a^2} + \frac{b'}{a^2 r^2} = \kappa \rho_{in}(t, r) + \kappa \rho(t) + \Lambda, \quad (2)$$

$$-\left(2\frac{\ddot{a}}{a} + H^2 + \frac{k}{a^2} \right) - \frac{b}{a^2 r^3} = \kappa p_r(t, r) + \kappa p(t) - \Lambda, \quad (3)$$

$$-\left(2\frac{\ddot{a}}{a} + H^2 + \frac{k}{a^2} \right) + \frac{b - rb'}{2a^2 r^3} = \kappa p_l(t, r) + \kappa p(t) - \Lambda \quad (4)$$

Fluido anisótropo e inhomogeneo

$$T_{\mu\nu} = \text{diag}(\rho_{in}(t, r); p_r(t, r); p_l(t, r); p_l(t, r)) \quad (5)$$

$$p_r = \omega_r \rho_{in}(t, r) \quad (6)$$

$$p_l = \omega_l \rho_{in}(t, r) \quad (7)$$

Ecuaciones de continuidad

$$\dot{\rho}_{in} + H(\omega_r + 2\omega_l + 3)\rho_{in} = 0 \quad (8)$$

$$\omega_r \rho'_{in} - \frac{2(\omega_l - \omega_r)}{r} \rho_{in} = 0 \quad (9)$$

Solución general I

$$ds^2 = -dt^2 + a(t)^2 \left(\frac{dr^2}{1 - kr^2 + \kappa C \omega_r r^{-1-1/\omega_r}} + r^2 d\Omega^2 \right) \quad (10)$$

$$3H^2 + \frac{3k}{a^2} = \kappa\rho(t) + \Lambda, \quad (11)$$

$$\dot{\rho} + 3H(\rho + p) = 0, \quad (12)$$

$$p_r = \omega_r \rho_{in}, \quad (13)$$

$$p_l = -\frac{1}{2}(1 + \omega_r) \rho_{in}, \quad (14)$$

$$\rho_{in}(t, r) = \frac{C r^{-3-1/\omega_r}}{a^2(t)} \quad (15)$$

Solución general II

La evolución del factor de escala es gobernada por las ecuaciones de Friedmann estándar. Por lo tanto el fluido inhomogéneo mantiene la garganta del wormhole y el fluido homogéneo la evolución del factor de escala.

Universos tipo wormhole en expansión con fluido fantasma barotrópico

Fluido fantasma barotrópico $p(t) = \omega\rho(t)$ y $\omega < -1$.

$$a(t) = a_0 \left(1 + \frac{3}{2} H_0 (\omega + 1) t \right)^{2/(3(\omega+1))}, \quad (16)$$

$$\rho(t) = \frac{\rho_0}{\left(1 + \frac{3}{2} H_0 (\omega + 1) t \right)^2}, \quad (17)$$

$$\rho_{in}(t, r) = - \frac{\left(\frac{r}{r_0} \right)^{-(1+3\omega_r)/\omega_r}}{r_0^2 \omega_r a_0^2 \left(1 + \frac{3}{2} H_0 (\omega + 1) t \right)^{4/(3(\omega+1))}}, \quad (18)$$

$$ds^2 = -dt^2 + a_0^2 \left(1 + \frac{3}{2} H_0 (\omega + 1) t \right)^{4/(3(\omega+1))} \\ \times \left(\frac{dr^2}{1 - \left(\frac{r}{r_0} \right)^{-(1+\omega_r)/\omega_r}} + r^2 (d\theta^2 + \sin^2 \theta d\varphi^2) \right) \quad (19)$$

Notar que

- La métrica (19) corresponde a un wormhole cuando $\omega_r < -1$ ó $\omega_r > 0$.
- La variedad descrita es asintóticamente FRW plano.
- Si el fluido homogéneo es fantasma ($\omega < -1$), entonces existe una singularidad tipo Big Rip en $t = t_{br}$, donde t_{br} está dado por

$$t_{br} = -\frac{2}{3H_0(\omega + 1)} > t_0 = 0 \quad (20)$$

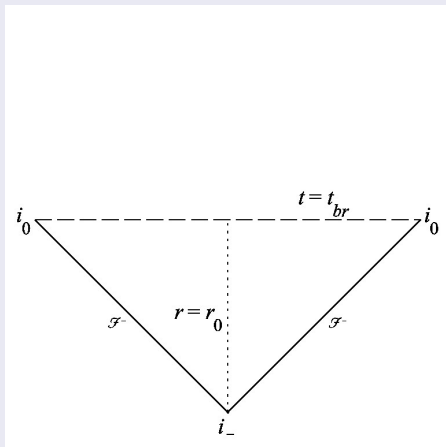
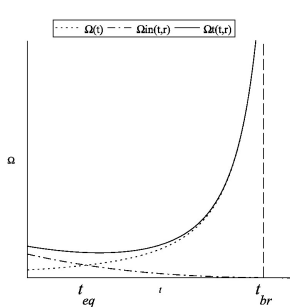
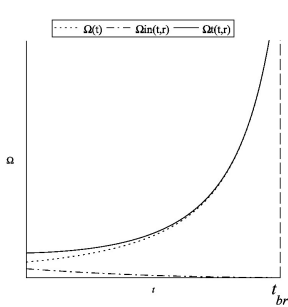
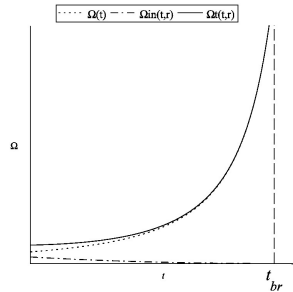


Figure: Diagrama de Penrose para el wormhole con $\omega_r < -1$ y $\omega < -1$. La línea punteada es la garganta y la línea cortada representa la singularidad futura tipo Big Rip.

Evolución de las densidades cuando $\omega_r < -1$

Para este caso existe un tiempo t_{eq} que denominaremos de equilibrio donde $\rho(t_{eq}) = \rho_{in}(t_{eq}, r_c)$ para $r_c = const$, este equilibrio existe para valores de r menores que un radio crítico r_* , dado por,

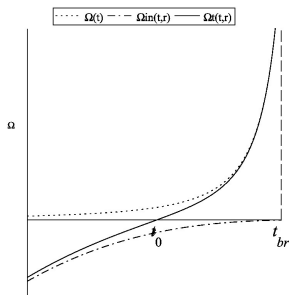
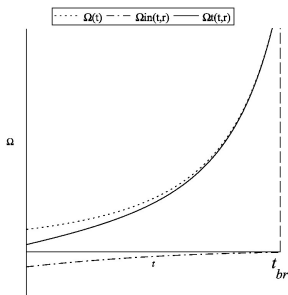
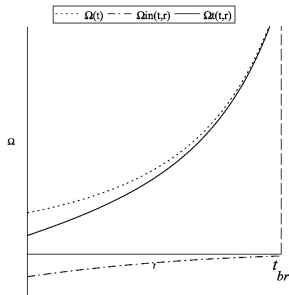
$$r_* = r_0 (-r_0^2 \omega_r a_0^2 \rho_0)^{-\omega_r / (1 + 3\omega_r)} \quad (21)$$

Figure: $r_0 < r_c < r_*$ Figure: $r_c > r_*$ Figure:
 $r_c \geq r_0$ ($r_* < r_0$)

Evolución de las densidades cuando $\omega_r > 0$

Para este caso existe un tiempo t_0 donde $\rho(t_0) + \rho_{in}(t_0, r_c) = 0$ para $r_c = \text{const}$, esto existe para valores de r menores que un radio crítico r_* , dado por,

$$r_* = r_0 (r_0^2 \omega_r a_0^2 \rho_0)^{-\omega_r / (1 + 3\omega_r)} \quad (22)$$

Figure: $r_0 < r_c < r_*$ Figure: $r_c > r_*$ Figure:
 $r_c \geq r_0$ ($r_* < r_0$)

Universos tipo wormhole en expansión con viscosidad

Cualquier proceso de disipación en una cosmología FRW es escalar y entonces puede ser modelado redefiniendo la presión efectiva de la siguiente forma,

$$P_{eff} = p + \Pi = p - 3\xi H, \quad (23)$$

donde $\Pi = \Pi(t)$ es la presión debida a la viscosidad, $\xi = \xi(t)$ es el coeficiente de viscosidad y H el parámetro de Hubble.

Ecuaciones de Friedmann plano

$$3H^2 = \rho + \Lambda, \quad (24)$$

$$\dot{\rho} + 3H(\rho + p + \Pi) = 0. \quad (25)$$

Asumiendo una ecuación de estado barotrópica

$$H(t) = \frac{e^{\frac{3}{2} \int \xi(t) dt}}{C + \frac{3}{2}(\omega + 1) \int e^{\frac{3}{2} \int \xi(t) dt} dt} \quad (26)$$

$$a(t) = D \left(C + \frac{3}{2}(\omega + 1) \int e^{\frac{3}{2} \int \xi(t) dt} dt \right)^{2/(3(\omega+1))} \quad \text{para } \omega \neq -1 \quad (27)$$

$$a(t) = D e^{C \int e^{\frac{3}{2} \int \xi(t) dt} dt} \quad \text{para } \omega = -1 \quad (28)$$

De las ecuaciones de Friedmann

$$\xi = \frac{1}{9H} \left((1 + 3\omega)\rho - 2\Lambda \right) \quad (29)$$

$$\xi = \frac{(1 + 3\omega)}{3\sqrt{3}} \rho^{1/2} \quad (30)$$

Para que el coeficiente ξ sea positivo debemos exigir que $\omega > -1/3$.

Coefficiente de viscosidad constante $\xi = \xi_0$ I

Para $\omega \neq -1$ se tiene

$$a(t) = a_0 \left(1 + \frac{H_0}{\xi_0} (\omega + 1) (e^{3\xi_0 t/2} - 1) \right)^{2/(3(\omega+1))} \quad (31)$$

$$\rho(t) = \frac{3 H_0^2 e^{3\xi_0 t}}{\left(1 + \frac{H_0}{\xi_0} (\omega + 1) (e^{3\xi_0 t/2} - 1) \right)^2} \quad (32)$$

$$\kappa \rho_{in}(t, r) = - \frac{\left(\frac{r}{r_0} \right)^{-(1+3\omega_r)/\omega_r}}{r_0^2 \omega_r a_0^2 \left(1 + \frac{H_0}{\xi_0} (\omega + 1) (e^{3\xi_0 t/2} - 1) \right)^{4/(3(\omega+1))}} \quad (33)$$

Coeficiente de viscosidad constante $\xi = \xi_0 \parallel$

Al igual que el caso sin viscosidad, existe una singularidad futura tipo Big Rip para $\omega < -1$ dado por

$$t_{br} = \frac{2}{3\xi_0} \ln \left(1 - \frac{\xi_0}{H_0(\omega + 1)} \right) > 0 \quad (34)$$

y el fluido anisótropo que mantiene el wormhole se desvanece en $t = t_{br}$

Coefficiente de viscosidad $\xi \sim \rho^{1/2}$ I

Para este caso usamos $\xi = \alpha \rho^{1/2}$ con α constante. Entonces

$$H = \frac{H_0}{1 + \frac{3}{2}H_0(\omega + 1 - \sqrt{3\alpha})t} \quad (35)$$

$$a(t) = a_0 \left(1 + \frac{3}{2}H_0(\omega + 1 - \sqrt{3\alpha})t\right)^{\frac{2}{3(\omega+1-\sqrt{3\alpha})}} \quad (36)$$

$$\rho(t) = \frac{3H_0^2}{\left(1 + \frac{3}{2}H_0(\omega + 1 - \sqrt{3\alpha})t\right)^2} \quad (37)$$

Coefficiente de viscosidad $\xi \sim \rho^{1/2}$ II

$$\xi(t) = \frac{\alpha\sqrt{3}H_0}{1 + \frac{3}{2}H_0(\omega + 1 - \sqrt{3}\alpha)t} \quad (38)$$

$$\kappa\rho_{in}(t, r) = - \frac{\left(\frac{r}{r_0}\right)^{-(1+3\omega_r)/\omega_r}}{r_0^2\omega_r a_0^2 \left(1 + \frac{3}{2}H_0(\omega + 1 - \sqrt{3}\alpha)t\right)^{\frac{4}{3(\omega+1-\sqrt{3}\alpha)}}} \quad (39)$$

Luego existe una singularidad tipo Big Rip en $t = t_{br}$ dado por

$$t_{br} = \frac{2H_0^{-1}}{3(\sqrt{3}\alpha - (\omega + 1))} > 0 \quad (40)$$

si la restricción $\sqrt{3}\alpha > \omega + 1$ es satisfecha.

Coefficiente de viscosidad $\xi \sim \rho^{1/2}$ III

Notar que

- Si el coeficiente de viscosidad es positivo ($\alpha > 0$), se tiene una singularidad futura para $\omega \geq -1$. Entonces esta singularidad es posible no sólo para energía fantasma viscosa sino que también puede ser energía oscura viscosa e incluso materia estándar viscosa.
- Claramente estos modelos tienen expansión acelerada. Si se quiere un modelo con expansión a velocidad constante se debe imponer la restricción

$$\alpha = \frac{(1 + 3\omega)}{3\sqrt{3}} \quad (41)$$

- La evolución de las densidades de los fluidos ahora dependen del valor del parámetro α , sin embargo se reproducen los casos no viscosos vistos anteriormente.

Para $\omega < -1$ y la condición $\sqrt{3}\alpha > \omega + 1$, se tiene por ejemplo

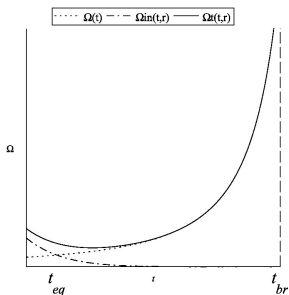


Figure: $\omega_r < -1$

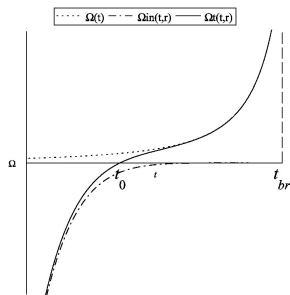


Figure: $\omega_r > 0$